

بِسْمِ اللّٰهِ الرَّحْمٰنِ الرَّحِيْمِ



دانشگاه تهران

پردیس علوم

دانشکده شیمی

سنتر نانوکامپوزیت‌های قابل انبساط و دیرسوز حاوی آب به عنوان عامل پفزا

نگارش

رفیعهالسادات نوروزیان امیری

استاد راهنما

دکتر نادر طاهری قزوینی

استاد مشاور

دکتر ناصر شریفی سنجانی

پایان‌نامه برای دریافت درجه کارشناسی ارشد

در رشته شیمی کاربردی گرایش پلیمر

۱۳۸۷ بهمن



بنام خدا

دانشگاه تهران

پردازش: علوم

دانشکده: شیمی

گواهی دفاع از پایان نامه کارشناسی ارشد

هیات داوران پایان نامه کارشناسی ارشد خاتم رفیعه السادات نوروزیان امیری در رشته شیمی کاربردی گرایش پلیمر
با عنوان: "ستتر نانو کامپوزیتها قابل انساط و دیرسوز حاوی آب به عنوان عامل پف زا"

را در تاریخ ۸۷/۱۱/۱۳

به حروف به عدد

بیت تمام	۲۰	نام نهاده تهابی:
----------	----	------------------

از زیبایی نمود و درجه:

علی

ردیف	مشخصات هیات داوران	نام و نام خانوادگی	مرتبه دانشگاهی	دانشگاه با موسسه	بهادر
۱	استاد راهنمای دوم (حسب مورد):	دکتر نادر طاهری فروینی	استادیار	دانشگاه تهران	
۲	استاد مشاور:	دکتر ناصر شریفی سنجانی	دانشیار	دانشگاه تهران	
۳	استاد مدعو: (داور داخلی)	دکتر حسین مهدوی	دانشیار	دانشگاه تهران	
۴	استاد مدعو: (داور داخلی)				
۵	نماینده کمیته تحصیلات تکمیلی پردازش با دانشکده شیمی:	دکتر حسین مهدوی	دانشیار	دانشگاه تهران	

تلذکر: این برگه پس از تکمیل توسط هیات داوران در نخستین صفحه پایان نامه درج می گردد.

تقدیم به

پیشگاه مقدس امام زمان

پر و مادر هم بانم

که هر چه دارم از آنها و از آن آنهاست

بمسر عزیزم

چکیده

در این کار پژوهشی نانوکامپوزیت پلیاستایرن-نانورس اصلاح شده قابل انبساط با آب سنتز گردید. در ابتدا نانورس اصلاح شده بصورت یکنواخت در مونومر استایرن پراکنده گردید. طی فرایند پلیمریزاسیون، آب به کمک نشاسته وارد دانه‌ها شده و در نهایت دانه‌های پلیاستایرن-نانورس اصلاح شده‌ی کروی بدست آمد. ترکیب نتایج میکروسکوپی الکترونی عبوری و پراش پرتو ایکس حاکی از ناسازگاری نانورس با بیشترین غلظت اصلاح کننده آلی و بزرگترین فاصله میان صفحات (d₀₀₁) با ماتریس پلیاستایرن بود. این مشاهدات برای اولین بار با استفاده از مفهوم میان افزایی وارون (Inverse intercalation) که بیانگر فرار مولکولهای پلیمر از میان صفحات نانورس پس از رسیدن به طولی بحرانی است، توجیه گردید. ناسازگاری بین پلیمر و مولکولهای طویل سورفتانت دلیل اصلی وقوع این پدیده است. از سوی دیگر، مورفولوژی‌های متفاوتی از حالت میان افزوده تا کاملاً متورق شده در نمونه‌های حاوی نانورس‌هایی با چگالی تراکم کمتر مولکولهای اصلاح کننده آلی (غلظت کمتر از ۱۰۰ meq/g clay) و فاصله صفحات (001) کمتر حاصل گردید. مقایسه این نتایج با پیش‌بینی تئوری گینزبورگ و بالا در مورد رفتار فازی در نانوکامپوزیتهای نانورس/پلیمر مذاب بر لزوم تدوین مدل جدیدی برای بیان رفتار فازی حين پلیمریزاسیون سامانه‌های پلیمر/مونومر/نانورس را یادآوری می‌نماید.

افزودن نانورس اصلاح شده باعث افزایش میزان آب در دانه‌های قابل انبساط شد. همچنین، با افزایش نانورس نرخ اشتعال محصول نهایی، به دلیل افزایش میزان اصلاح کننده آلی در آن، بیشتر شد. بعلاوه، نتایج حاکی از اثر گذاری مدل پراکنش نانورس در ماتریس پلیاستایرنی بر اندازه دانه‌ها، چگالی دانه‌ها قبل از انبساط، مورفولوژی سلول و اشتعال پذیری بود. بهترین نتایج در حالت متورق که میزان پراکندگی به حد اکثر مقدار خود می‌رسید، بدست آمد.

فهرست مطالب

صفحه

عنوان

فصل اول

بخش تئوری

۱-۱ مقدمه	۲
۱-۲ معایب اسفنجهای پلی استایرنی متداول	۱۱
۱-۳ جایگزین کردن پنتین	۱۲
۱-۳-۱ جایگزینی دی اکسید کربن بجای پنتین	۱۲
۱-۳-۲ جایگزینی آب بجای پنتین	۱۳
۴-۱ هدف پژوهش	۴۰

فصل دوم

بخش تجربی

۲-۱ مواد مورد استفاده	۴۳
۲-۲ روش‌های شناسایی و تحلیل نمونه‌ها	۴۶
۲-۳ سنتز نانو کامپوزیتهای پلی استایرن قابل انبساط با آب حاوی نانورسهای اصلاح شده WEPSOCN	۴۷

فصل سوم

نتایج و بحث

۱-۳ بررسی مورفولوژی نانوکامپوزیتهای اسفنجی	۵۳
۲-۲ بررسی پراکندگی نانورس و عوامل مؤثر بر آن در نانو کامپوزیتهای پلی استایرن قابل انبساط با آب	۵۸
۳-۳ بررسی ساختار و خواص نانو کامپوزیتهای پلی استایرن قابل انبساط با آب	۷۸

فصل چهارم

نتیجه گیری و پیشنهادات

۱-۴ نتیجه گیری	۸۹
۲-۴ پیشنهادات	۹۰

فهرست منابع

منابع	۹۱
-------	----

فهرست شکلها

صفحه	عنوان
۱	شکل ۱-۱: برخی از مصارف روزمره اسفنج‌های پلی‌استایرنی
۳	شکل ۱-۲: سهم هر پلیمر در بازار جهانی اسفنجها [۱]
۵	شکل ۱-۳: مراحل تولید پلی‌استایرن قابل انبساط [۴]
۶	شکل ۱-۴: روش صنعتی تولید EPS [۴]
۷	شکل ۱-۵: چرخه دمایی فرایند پلیمریزاسیون و تهیه EPS [۳]
۹	شکل ۱-۶: تهیه پیش اسفنج به روش ناپیوسته [۴]
۱۰	شکل ۱-۷: اسفنج شدن در ماشین قالب‌گیری [۴]
۱۵	شکل ۱-۸: نمایی شماتیک از تولید امولسیون وارون (a) و پلیمریزاسیون تعلیقی استایرن / پلی‌استایرن [۱۲]
۱۶	شکل ۱-۹: توزیع اندازه ذرات دانه‌های WEPS [۱۲]
۱۷	شکل ۱-۱۰: تصاویر SEM دانه‌های WEPS [۱۲]
۱۷	شکل ۱-۱۱: تصویر SEM دانه WEPS پس از انبساط [۱۲]
۱۸	شکل ۱-۱۲: همخوانی بیشتر بین فاز آبی و آلی با سورفکتانت آمفی فیلیک [۱۳]
۱۹	شکل ۱-۱۳: اثر میزان عامل پف زا بر انبساط [۱۴]
۱۹	شکل ۱-۱۴: تغییرات میزان انبساط با افزایش درصد عامل پف زا [۱۴]
۲۰	شکل ۱-۱۵: میزان انبساط در دماهای متفاوت [۱۴]
۲۳	شکل ۱-۱۶: تولید WEPS با استفاده از نشاسته به عنوان فاز جاذب آب [۱۹]
۲۵	شکل ۱-۱۷: وابستگی قطر سلول به اندازه ذرات نشاسته [۱۹]
۲۶	شکل ۱-۱۸: مورفولوژی اسفنج‌ها با نشاسته‌های (الف) برنج، (ب) گندم، (ج) ذرت با آمیلوز بالا، (د) ذرت، (ه) سیب زمینی [۱۹]

- شکل ۱-۱: اثر نوع انبساط بر چگالی اسفنج نهایی [۱۹] ۲۷
- شکل ۱-۲: اثر روش انبساط بر چگالی و مورفولوژی دانه‌های WEPS . الف) هوای داغ ب) امواج مایکروویو [۲۰] ۲۸
- شکل ۱-۳: اثر میزان آب موجود در دانه‌های پلی‌استایرن بر مورفولوژی و چگالی نهایی اسفنج. الف) ۱۰٪ آب. ب) ۱۷٪ آب [۲۰] ۲۸
- شکل ۱-۴: مورفولوژی دانه‌های پلی‌استایرن در دماهای متفاوت پلیمریزاسیون. الف) C ۹۰° ب) ۱۲۰° C [۲۰] ۲۹
- شکل ۱-۵: اثر مقدار افزودنی بر حجم آب [۲۰] ۲۹
- شکل ۱-۶: اثر مقدار زئولیت و آب بر چگالی اسفنج [۲۰] ۳۰
- شکل ۱-۷: اثر نوع افزودنی بر مورفولوژی اسفنج نهایی. الف) زئولیت A (۰.۵٪ آب). ب) زئولیت Y (۰.۳٪ آب). ج) SiO₂ (۰.۱٪ آب) [۲۰] ۳۰
- شکل ۱-۸: اثر اندازه ذرات افزودنی بر قطر سلولها. الف) قطر ذره ۱۶ μm قطر سلول ۰.۰/۴۲mm ۳۱
- ب) قطر ذره ۰.۰/۱۸mm قطر سلول ۴ μm ۳۱
- شکل ۱-۹: اثر نوع خاک رس بر اندازه سلولها در اسفنجها [۴۱] ۳۲
- شکل ۱-۱۰: تصویر TEM بیانگر نحوه توزیع نانوذرات خاک رس اسفنجها [۴۱] ۳۳
- شکل ۱-۱۱: ورود خاک رس در آب در مرحله امولسیون وارون (الف) و ادامه پلیمریزاسیون به روش سوسپانسیونی (ب) [۴۳] ۳۵
- شکل ۱-۱۲: پراکندگی قطرات آب در دانه‌ها قبل از انبساط (الف) . دانه بدون نانوذرات خاک رس حاوی ۰.۷٪ آب (ب). دانه کامپوزیتی حاوی ۰.۹٪ آب [۴۳] ۳۶
- شکل ۱-۱۳: تخمین میزان آب موجود در دانه‌ها با استفاده از TGA [۴۳] ۳۶
- شکل ۱-۱۴: تصاویر SEM اسفنج بعد از انبساط (الف) بدون نano رس -هوای داغ (ب) بدون نano رس - روغن داغ (ج) با nano رس - هوای داغ (ه) با nano رس - روغن داغ [۴۳] ۳۸

..... ۳۹ شکل ۱-۳: تصویر TEM نشان دهنده لایه نانوذرات رس اطراف سلول [۴۳]
..... ۴۰ شکل ۱-۴: تصویر SEM از اسفنج که مورفولوژی دوگانه آن را نشان می‌دهد [۴۳]
..... ۵۰ شکل ۱-۲: تصویر شماتیک از مراحل تهیه نano کامپوزیت قابل انبساط با آب پلی استایرن = نانورس الی (WEPSOCN)
..... ۵۳ شکل ۱-۳: تصویر SEM دانه‌های تهیه شده قبل از انبساط الف) با بزرگنمایی ۲۰ برابر. ب) با بزرگنمایی ۵۰ برابر. (در سمت راست تصاویر SEM مقدار بزرگنمایی و مقیاس آنها داده شده است)
..... ۵۴ شکل ۲-۳: نمای نزدیک از دانه‌های WEPSOCN - ساختار دوگانه واضح است
..... ۵۵ شکل ۳-۳: فررو رفتگی‌های میکرونی سطح داخلی حفرات. این ناهمگونی‌های سطحی باعث افزایش ظرفیت جذب آب می‌شود
..... ۵۷ شکل ۳-۴: توجیه کاهش عبور پذیری نano کامپوزیت طبق مدل پرپیچ و خم [۴۵]
..... ۵۹ شکل ۳-۵: انواع نano کامپوزیت نانورس
..... ۶۰ شکل ۳-۶: تصویر شماتیک ساختار نانورس 20A
..... ۶۱ شکل ۳-۷: تصویر شماتیک ساختار نانورس 15A
..... ۶۱ شکل ۳-۸: تصویر شماتیک ساختار نانورس 30B
..... ۶۲ شکل ۳-۹: منحنی XRD نانورسها
..... ۶۲ شکل ۳-۱۰: تصویر شماتیک بیانگر مقیاسهای طولی مختلف در نانورسها
..... ۶۴ شکل ۳-۱۱: منحنی XRD از نانورس 15A و نano کامپوزیت حاصل از آن
..... ۶۴ شکل ۳-۱۲: تصویر TEM نمونه 20A-3
..... ۶۵ شکل ۳-۱۳: منحنی XRD از نانورس 20A و نano کامپوزیت پلی استایرن قابل انبساط با آب حاصل از آن
..... ۶۶ شکل ۳-۱۴: تصویر TEM اسفنج نano کامپوزیت نمونه 20A-3

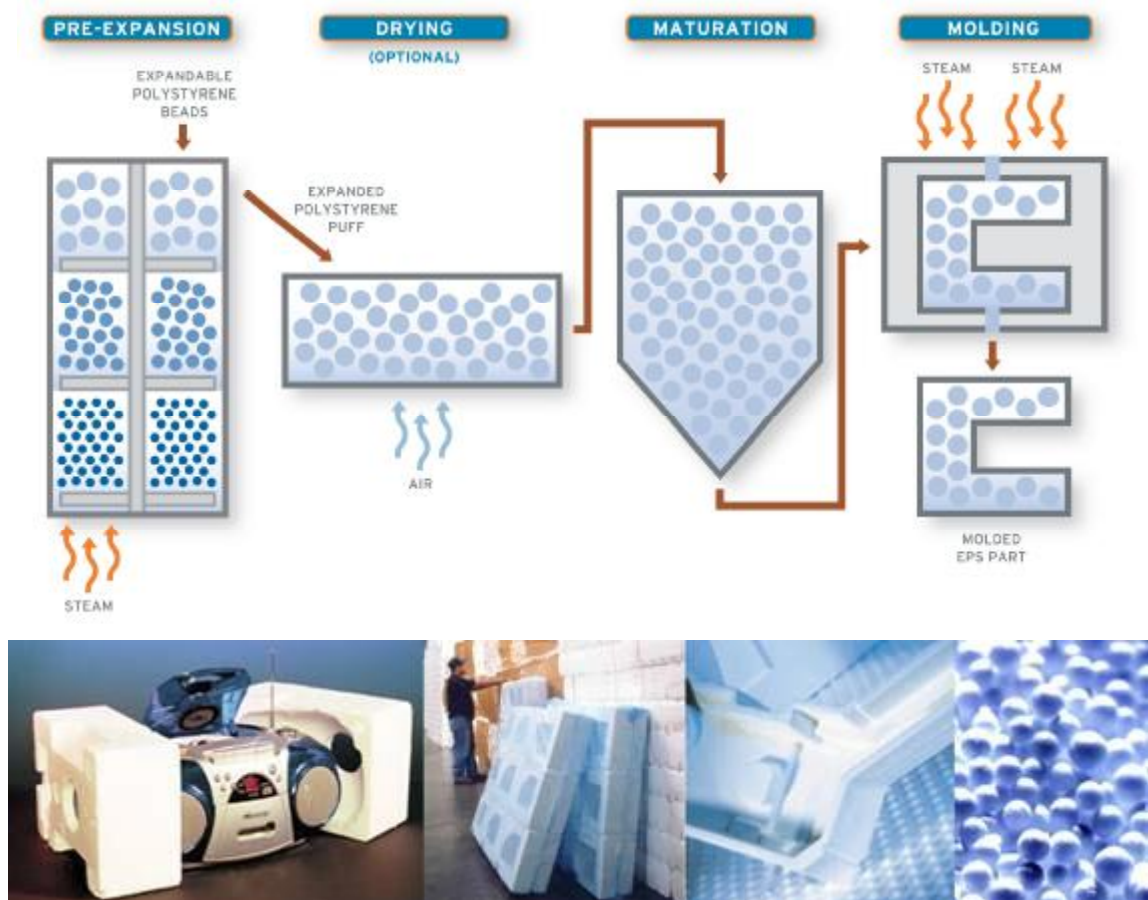
..... شکل ۳-۱۵: منحنی XRD از نانورس 30B و نانوکامپوزیت اسفنجی حاصل از آن	۶۶
..... شکل ۳-۱۶: تصویر TEM نانوکامپوزیت اسفنجی نمونه 30B-3	۶۷
..... شکل ۳-۱۷: ورود زنجیرهای پلیمری به داخل لایه‌های نانورس در روش پلیمریزاسیون مذاب	۷۴
..... شکل ۳-۱۸: ورود مونومرها به داخل لایه‌های نانورس در روش پلیمریزاسیون درجا	۷۵
..... شکل ۳-۱۹: ورود مونومرها به داخل گالری نانورس	۷۶
..... شکل ۳-۲۰: حد بحرانی پلیمریزاسیون	۷۶
..... شکل ۳-۲۱: خروج پلیمرهایی که وزن مولکولی آنها بیش از حد بحرانی است	۷۷
..... شکل ۳-۲۲: نسبت‌های انبساط توسط چهار روش انبساط	۸۰
..... شکل ۳-۲۳: تصویر SEM از نمونه 15A-3 بعد از انبساط	۸۱
..... شکل ۳-۲۴: تصویر SEM از نمونه 20A-3 با مورفولوژی میان‌افزوده با بزرگنمایی ۲۰۰ و ۵۰۰ برابر (بعد از انبساط)	۸۲
..... شکل ۳-۲۵: تصاویر SEM از نمونه 30B-3 بعد از انبساط	۸۳
..... شکل ۳-۲۶: نمایی نزدیک از حفرات موجود در سطح سلول‌ها. بالا نمونه 20A-3، پایین نمونه 30B-3	۸۴
..... شکل ۳-۲۷: زمان نرمال شده برای سوختن نمونه‌های 15A با درصد نانورس متفاوت	۸۶
..... شکل ۳-۲۸: زمان نرمال شده برای سوختن اسنجهای نانوکامپوزیتی با سه درصد نانورس اصلاح شده	۸۷

فهرست جداول

عنوان	صفحه
جدول ۱-۱: کاربرد دانه‌های پلی استایرن با توجه به قطر دانه [۳]	۸
جدول ۱-۲: خواص نشاسته‌های مورد استفاده در تحقیق پالای و همکاران [۱۹]	۲۳
جدول ۱-۳: میزان انبساط دانه‌ها در محیط‌های مختلف [۴۳]	۳۷
جدول ۲-۱: ساختار و خواص نانورس 15A	۴۳
جدول ۲-۲: ساختار و خواص نانورس 20A	۴۴
جدول ۲-۳: ساختار و خواص نانورس 30B	۴۵
جدول ۴-۲. نوع و مقدار نانورس مورد استفاده در سنتز نانوکامپوزیتها	۴۷
جدول ۴-۳: درصد آب موجود در دانه‌های WEPSOCN	۵۶
جدول ۴-۴: انرژی چسبندگی محاسبه شده بین لایه‌های نانورس با فاصله‌های متفاوت [۵۰]	۷۰
جدول ۴-۵: اندازه و چگالی دانه‌های سنتز شده (متوسط اندازه گیری‌ها از ۱۰ نمونه)	۷۹
جدول ۴-۶: درصد آب اندازه گیری شده با دستگاه TGA	۷۹

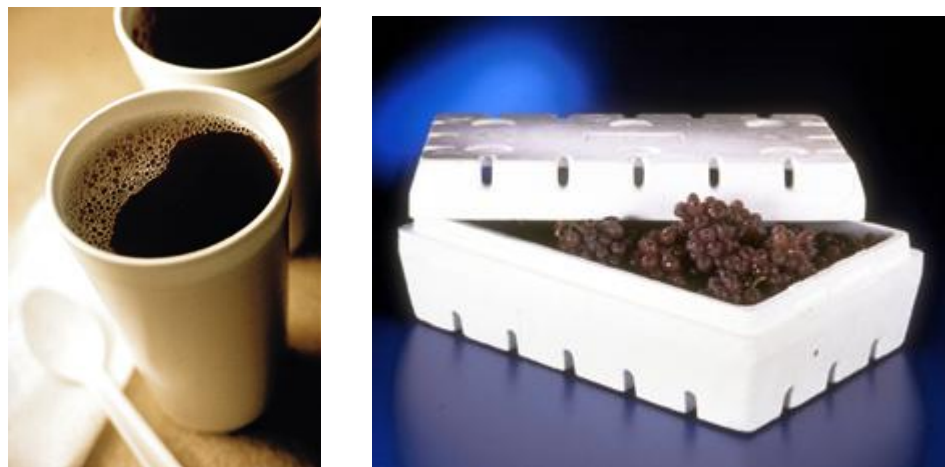
فصل اول

بخش تئوری



۱-۱ مقدمه

اسفنجهای پلیمری به دلیل کاربرد فراوان در زندگی روزمره ما جایگاه ویژه‌ای دارند. برخی از اسفنجهای کاربردهای ویژه‌شان قابل روئیت نمی‌باشند، مثل صفحه‌های عایق که در ساختمانها یا در دیواره یخچالها بکار می‌روند در حالی که برخی دیگر، مثل بسته‌بندی‌های مواد غذایی، ظرفها و لیوانهای یکبار مصرف قابل روئیتند.

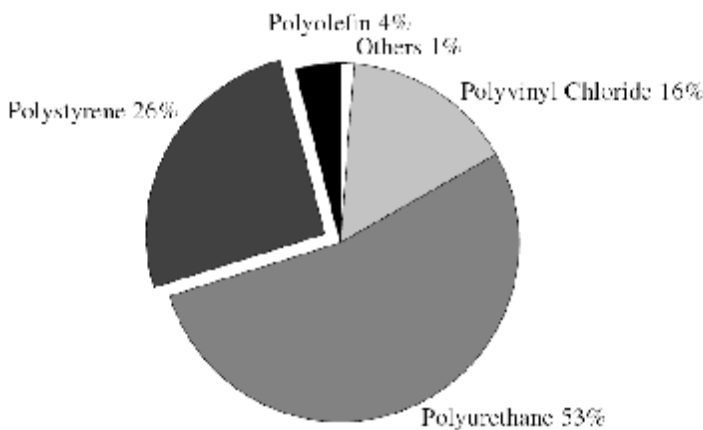


شکل ۱-۱: برخی از مصارف روزمره اسفنجهای پلی‌استایرنی.

در صنعت پلاستیک، اسفنجهای پلاستیکی سهمی برابر با ۱۰٪ را در مصرف به خود اختصاص داده‌اند که سهم قابل توجهی می‌باشد. عمده‌ترین تفاوت اسفنجهای پلیمری با پلاستیکها در چگالی آنها است. در اسفنجهای پلیمری سلول در ماتریس پلیمر، می‌توان به چگالی بسیار پایین رسید. این کار با استفاده از عوامل پفزای^۱، که با توجه به نوع فراورش انواع گوناگون دارد، قابل دسترسی می‌باشد. در این فرایند مهمترین عامل، روشی است که طی آن گاز وارد پلیمر شده و یا در آن تولید می‌شود. نوع پلیمر و نوع عامل پفزایی که اسفنج را تولید می‌کند

^۱ Blowing agent

به عوامل متعددی، از جمله، خواص مورد انتظار از محصول نهایی، امکانات صنعتی در اختیار و همچنین هزینه نهایی محصول وابسته است. اسفنجهای پلیمری را می‌توان از تمام انواع پلیمرها تهیه نمود که البته در این میان بعضی پلیمرها به دلایلی خاص سهم بیشتری را به خود اختصاص داده‌اند. از جمله این پلیمرها می‌توان به پلی‌بورتان، پلی‌استایرن، پلی‌اولفین‌ها و پلی‌ونیل کلراید اشاره نمود. نسبت تقریبی سهم هر پلیمر در بازار جهانی در شکل زیر نشان داده شده است [۱].



شکل ۱-۲: سهم هر پلیمر در بازار جهانی اسفنجها [۱].

پلی‌استایرن یکی از چهار پلیمر پرکاربرد جهان است که تولید سالانه آن به ۱۰ میلیون تن می‌رسد. حدود ۲۰-۲۵٪ وزنی از تولید سالانه این پلیمر به تهیه اسفنجهای پلی‌استایرن اختصاص می‌یابد. به دلیل قیمت پایین، خواص عایق خوب و چگالی پایین، مصرف سالانه این محصول پلیمری در صنایع بسته بندی، ساختمانی و عایق‌کاری بالا می‌باشد [۲].

اسفنجهای پلی‌استایرن بیشتر از پلی‌استایرن اتاکتیک تولید می‌گردند. وزن مولی و توزیع وزن مولی پلی‌استایرن نقش مهمی در خواص نهایی اسفنج دارد. قیمت و مقاومت حرارتی مناسب، این پلیمر را به رقیبی برای دیگر عایقهای حرارتی مثل اسفنج پلی‌بورتان و پشم سنگ^۲ تبدیل

² Rock Wool

نموده است. خواص غیرقطبی پلی استایرن توان با ساختار سلول بسته این فوم به آن خاصیت ضد آب بودن در دمای محیط را می دهد به همین دلیل در صنعت بسته بندي غذا و ساخت قطعات شناور استفاده می شود [۳].

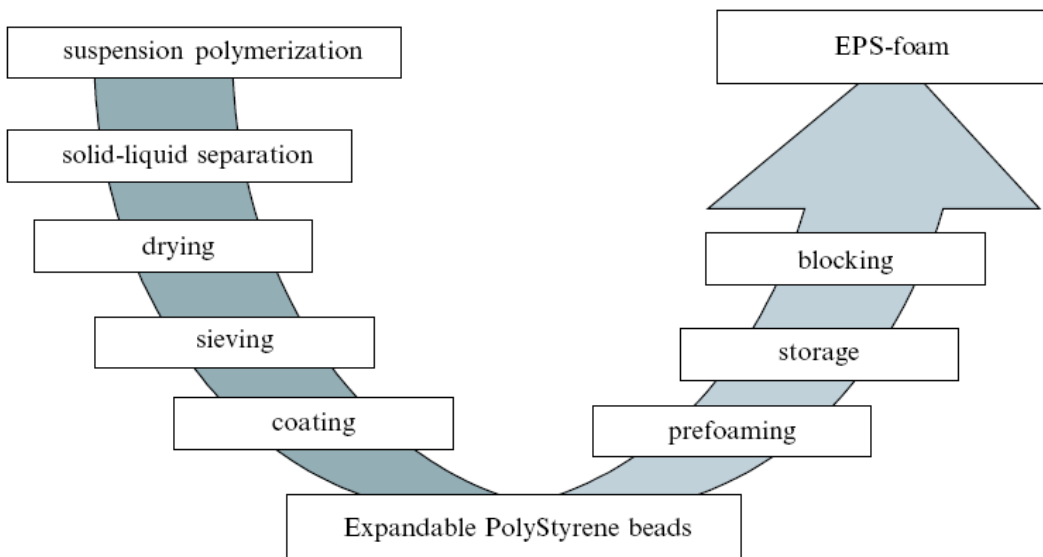
روشهای متعددی برای تهیه اسفنجهای پلی استایرنی پیشنهاد شده است که دو مورد از آنها از اهمیت بیشتری برخوردارند:

الف) اکستروژن مستقیم که از آن برای تهیه صفحه های اسفنجی استفاده می شود.

ب) تهیه دانه های قابل انبساط به روش پلیمریزاسیون تعلیقی.

در روش اول عامل پف زا با پلیمر مذاب در یک دستگاه اکسترودر تحت فشار مخلوط می شوند. هنگام خروج پلیمر از انتهای اکسترودر، همزمان با کاهش فشار بر مخلوط، عامل پفزایش شروع به تبخیر نموده و باعث انبساط پلیمر می شود. ساختار سلولی حاصل با سرد شدن پلیمر مذاب سخت می شود. صفحه اسفنج پلی استایرن حاصل را می توان با حرارت مجدد به همراه قالب گیری به شکل دلخواه درآورد یا می توان آن را بلافاصله بعد از خروج از دستگاه اکسترودر به قطعاتی با اندازه و شکل دلخواه برید [۲].

در روش دوم دانه ها یا گرانولهای قابل انبساط در یک محل تولید و به محل دیگر برای انبساط و قالب گیری به شکل نهایی منتقل می شوند. این روش دو مزیت دارد: اول اینکه، نسبت به اکستروژن مستقیم شکلهای پیچیده تری را می توان از اسفنجها تهیه کرد و ثانیاً، برای انتقال محصول قبل از قالب گیری نهایی حجم کمتری حمل شده که خود باعث کاهش هزینه محصول نهایی می شود (شکل ۱-۳) [۳].



شکل ۱-۳: مراحل تولید پلی استایرن قابل انبساط [۳].

در این روش دانه های کروی که به روش پلیمریزاسیون تعليقی در حضور عامل پف زا تهیه شده اند، با اعمال حرارت یا بخار منبسط می شوند. واژه پلیمریزاسیون تعليقی بیانگر روشی است که در آن مونومرهای نامحلول در آب بواسطه هم زدن شدید بصورت قطرات مایع در آب پراکنده و معلق می باشند تا پلیمر هایی را بصورت فاز جامد معلق تولید کنند. آغازگرهايی که در اين روش مورد استفاده قرار می گيرند محلول در فاز آلی هستند و پلیمریزاسیون در قطرات مونومر انجام می شود. با توجه به سینتیک واکنش سازوکار آن، از نوع رادیکال آزاد می باشد [۴].

پایدار کننده های تعليق، وظيفه تولید و حفظ پایداری قطرات مایع را بر عهده دارند. اين پایدار کننده ها باید در آب محلول باشند یا توسط آب خيس^۳ شوند. علاوه بر مزاياي اصلی پلیمریزاسیون تعليقی نظير:

- انتقال حرارت آسان و کنترل دمایي

- گرانبروي پايین در طول مرحله پلیمریزاسیون

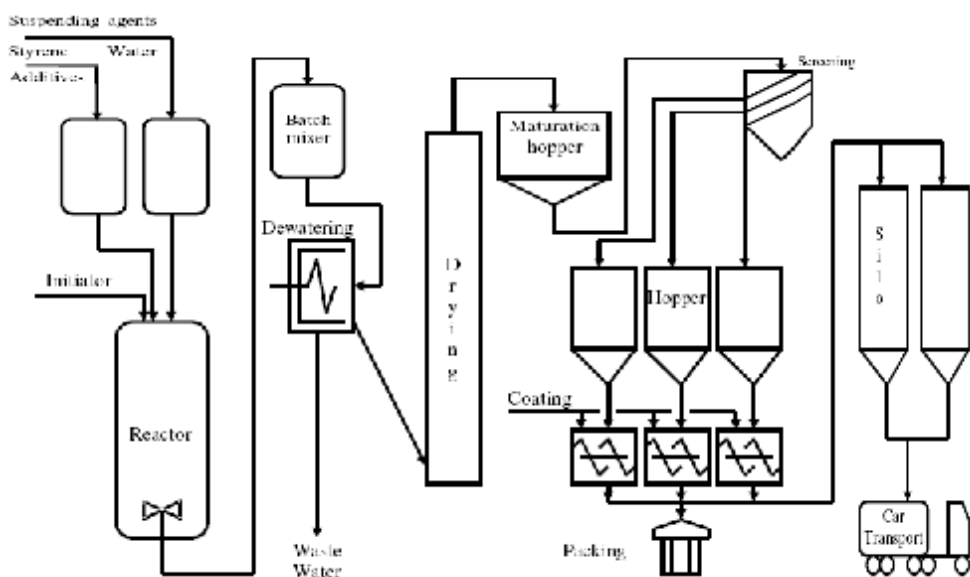
- ناخالصی کم در محصول نهايی

³ Wet

- جداسازی آسان و ارزان محصول نهایی

امکان دستیابی به محصولی قابل انبساط بصورت ذرات کروی که توسط هیچ روش دیگری قابل تهیه نیست را می‌توان به عنوان ویژگی بارز این روش ذکر نمود [۳]. در صنعت برای تهیه پلی استایرن قابل انبساط^۴ (EPS) به روش پلیمریزاسیون تعليقی از راکتوری که دارای ژاکت حرارتی، همزن و معمولاً تعداد دو یا بیشتری مانع باشد استفاده می‌شود. حجم این راکتور می‌تواند بین 2 m^3 تا 100 m^3 باشد. ابتدا فاز آب و مونومر را داخل راکتور ریخته و سپس افزودنی‌ها قبل، یا در طول پلیمریزاسیون به آن اضافه می‌شود. این افزودنی‌ها بسته به احلال آنها در آب یا مونومر در یکی از دو فاز جای می‌گیرند (شکل ۱-۴).

نسبت آب به مونومر بین $40:60$ و $40:40$ می‌باشد. با افزایش دمای راکتور، پلیمریزاسیون در محدوده دمایی معین و با افزایش تدریجی دما انجام می‌شود [۵]. در طول پلیمریزاسیون نیز عامل پف زا اضافه می‌شود. بعد از تبدیل کامل مونومر استایرن به دانه‌های EPS راکتور را خنک کرده و محصول به محفظه اختلاط وارد می‌شود. معمولاً مراحل انتهایی بصورت پیوسته انجام می‌شوند [۳].



شکل ۱-۴: روش صنعتی تولید EPS [۳].

⁴ Expandable Polystyrene

⁵ Baffle